

Pozitronový mikroskop

- rychlé pozitrony z β^+ radioizotopu
- prostorové rozlišení $\approx 100 \mu\text{m}$
- nedestruktivní mapování rozložení defektů

Pozitronový mikroskop

- mapování rozložení defektů
- mikrotvrдость HV
- dislokace (work hardening)

$$HV \approx \sqrt{\rho_D}$$

- hranice zrn (Hall-Petch)

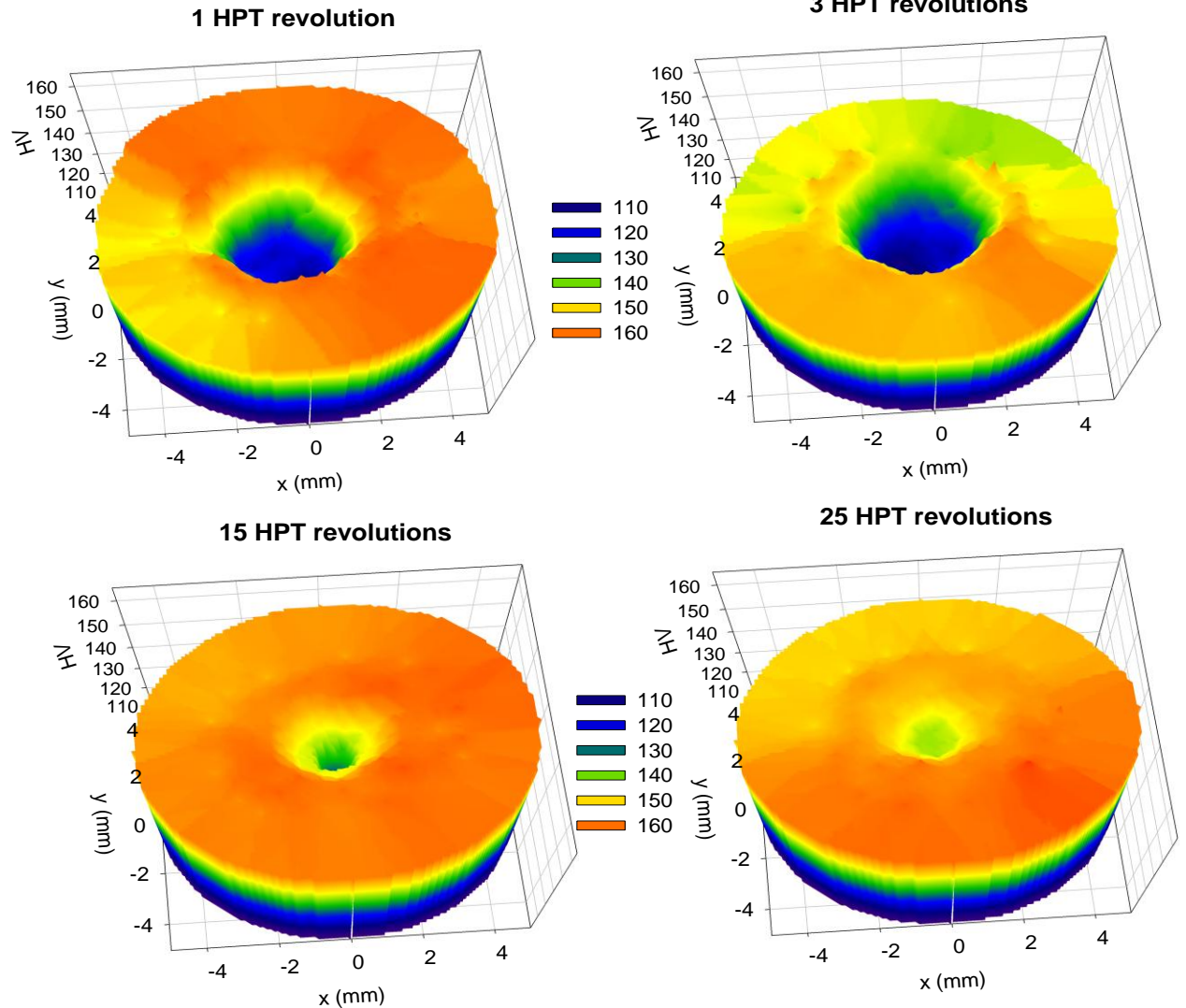
$$HV \approx 1/\sqrt{d}$$

- torzní deformace

$$e = \ln(\mathcal{G}r/l)$$

- e – skutečná true log. deformace
- \mathcal{G} - úhel otočení
- r – vzdálenost od středu
- l – stloušťka vzorku

Ultrajemnornná Cu HPT (p = 6 GPa)



Pozitronový mikroskop

- nedestruktivní mapování rozložení defektů
- měření Dopplerovského rozšíření
- mapování pomocí S -parametru
- dislokace
- hranice zrn
- deformací-indukované vakance

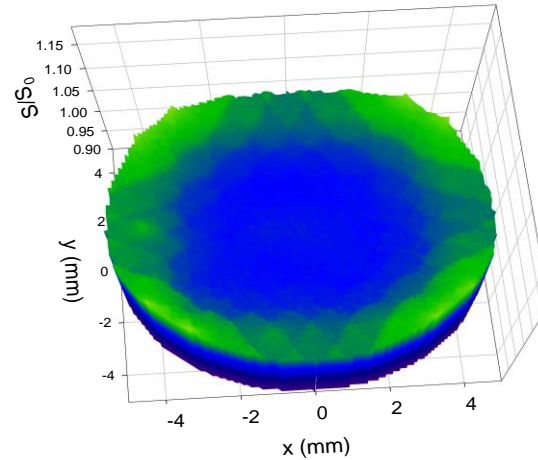
- torzní deformace

$$e = \ln(\mathcal{G}r / l)$$

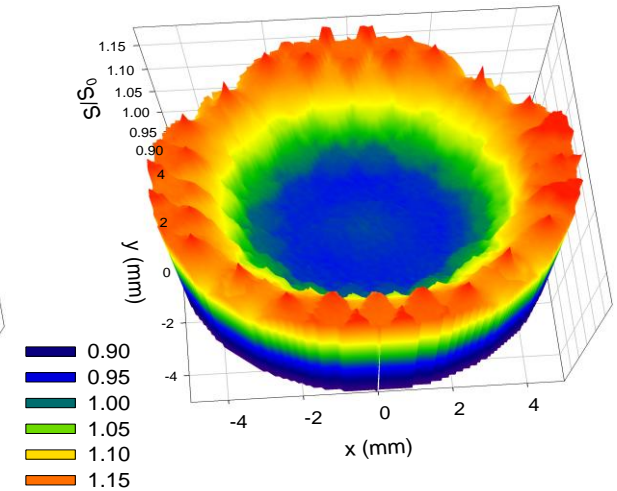
- e – skutečná true log. deformace
- \mathcal{G} - úhel otočení
- r – vzdálenost od středu
- l – stloušťka vzorku

Ultrajemnornná Cu HPT (p = 6 GPa)

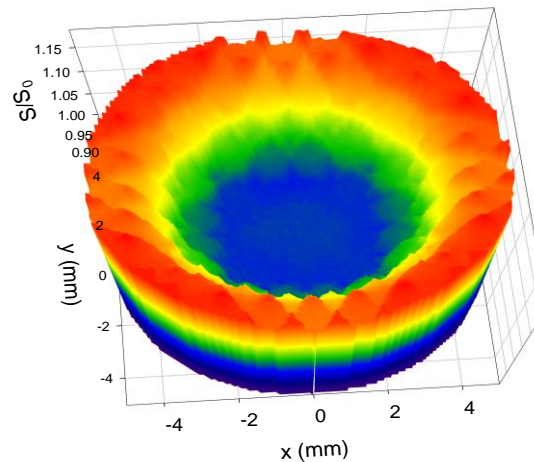
1 HPT revolution



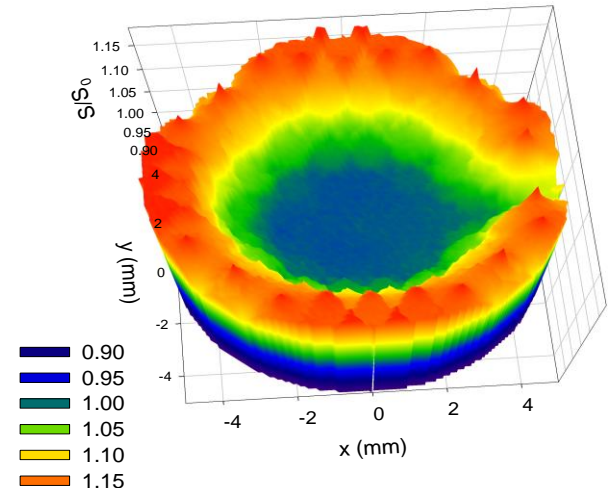
3 HPT revolutions



15 HPT revolutions



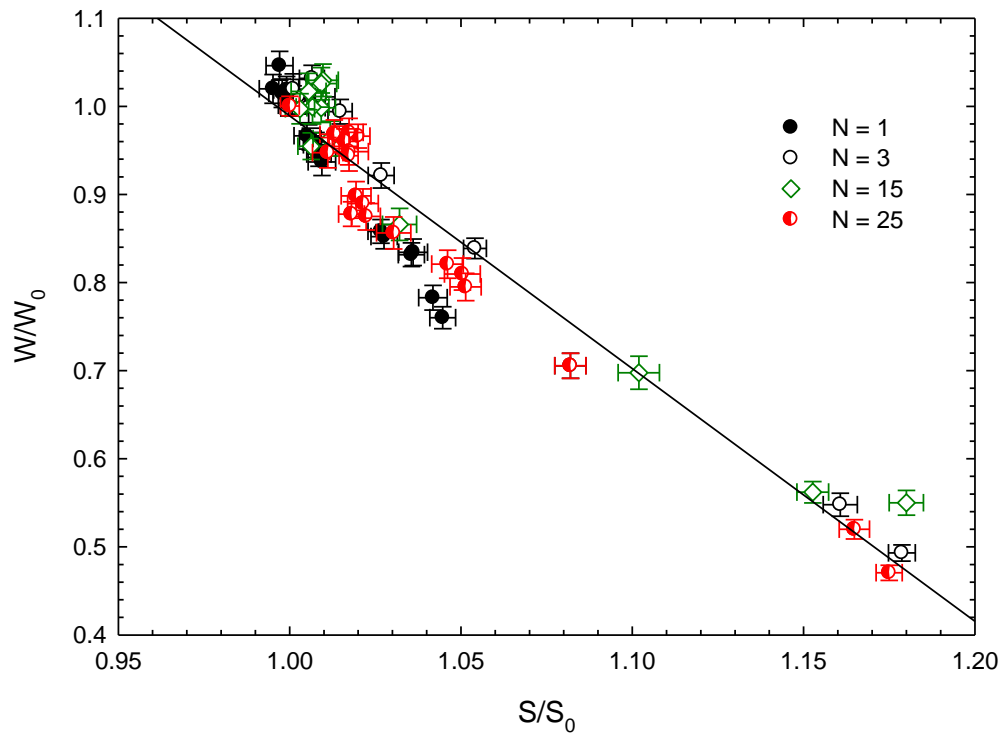
25 HPT revolutions



Pozitronový mikroskop

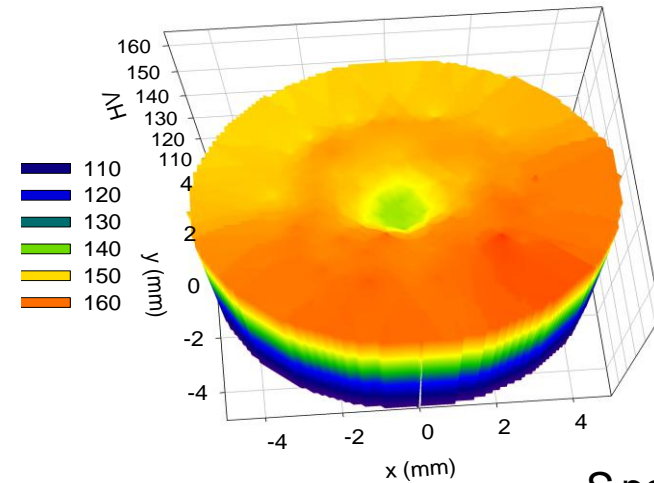
- Ultrajemnoronná Cu HPT ($p = 6$ GPa)

- S - W plot

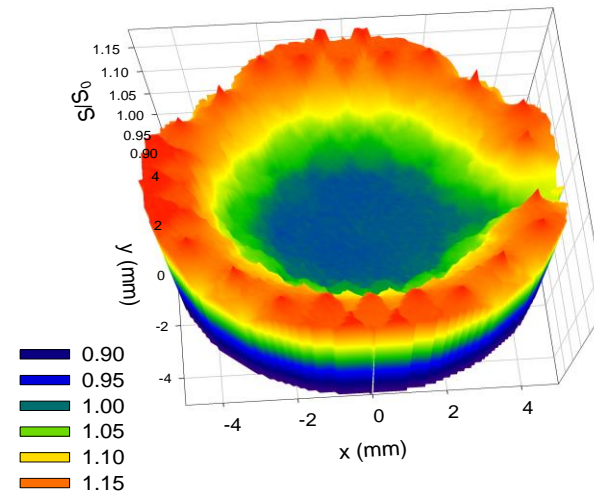


microhardness

25 HPT revolutions



S parameter



Pozitronový mikroskop

- pomalé pozitrony moderované ve svazku
- střední implantační hloubka pro $E \approx 1$ keV je $z_{mean} \approx 10$ nm
- prostorové rozlišení limitováno difúzní délkou termalizovaného pozitronu ≈ 100 nm
- mapování laterálního rozložení defektů + měření hloubkového profilu
- nedstruktivní 3D mapování rozložení defektů

Pozitronový mikroskop

- jas (brightness) svazku pozitronů

$$B = \frac{I}{\Omega_x \Omega_y}$$

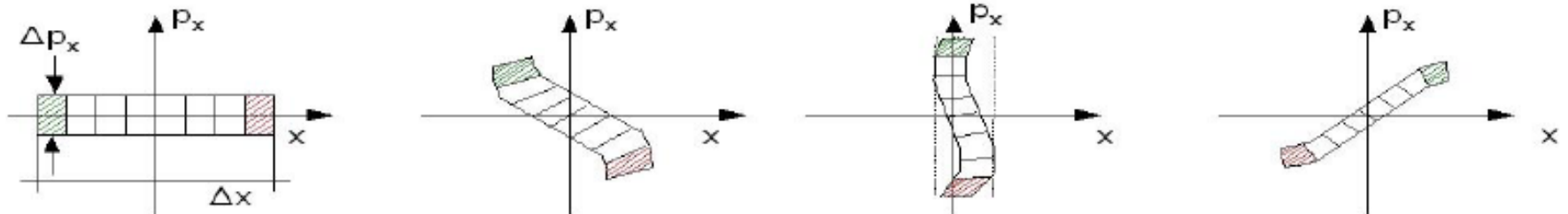
I – intenzita

- Liouvilleův teorém

$$\Delta x \Delta p_x = \Omega_x = \text{konst}$$

$$\Delta y \Delta p_y = \Omega_y = \text{konst}$$

- jas komerčně dostupných zdrojů e^+
 $10^{-19} - 10^{-16}$ krát jas typických zdrojů e^- !



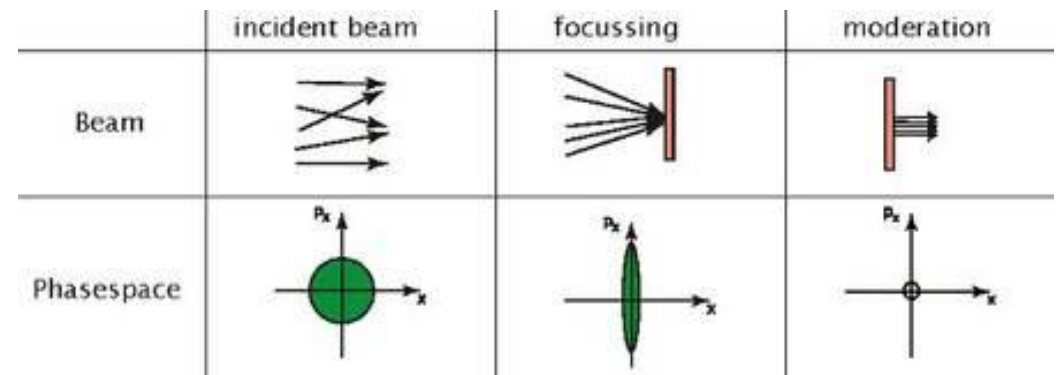
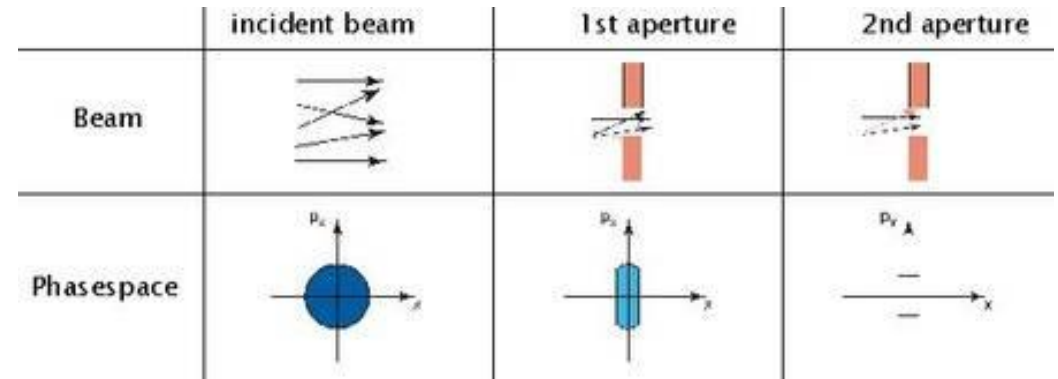
Pozitronový mikroskop

- **remoderace**

$$B = \frac{I}{\Omega_x \Omega_y}$$

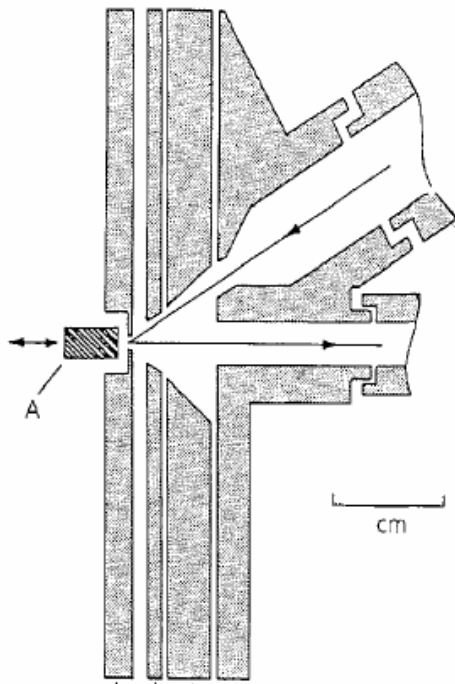
I – intenzita

- zvýšení jasů B
- tj. zmenšení objemu svazku ve fázovém prostoru
- ale nutně snížení intenzity

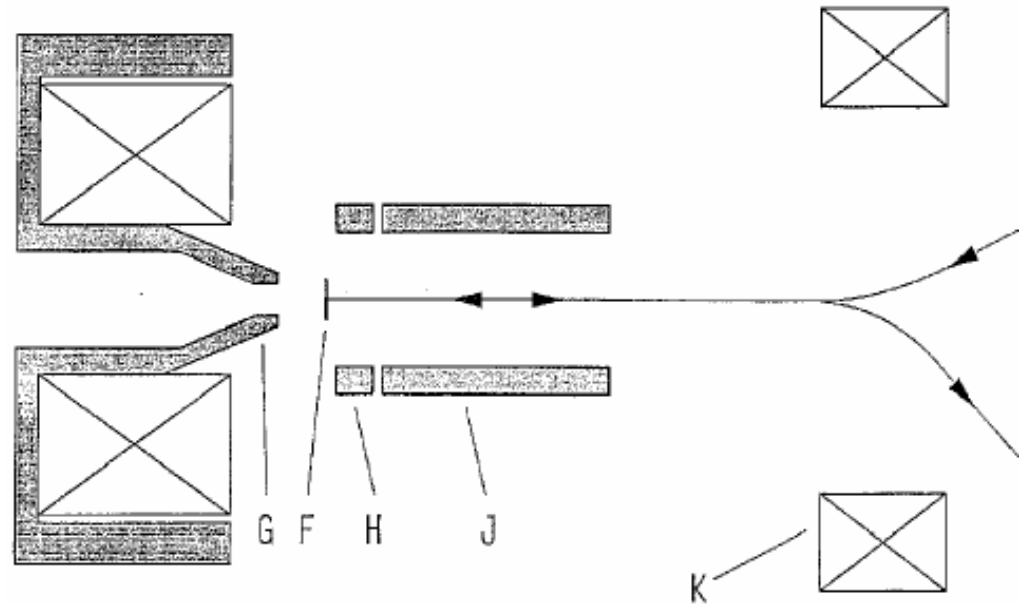


Pozitronový mikroskop

- **remoderace**
- elektrostatický remoderátor
- redukce velikosti svazku $\approx 10 \times$

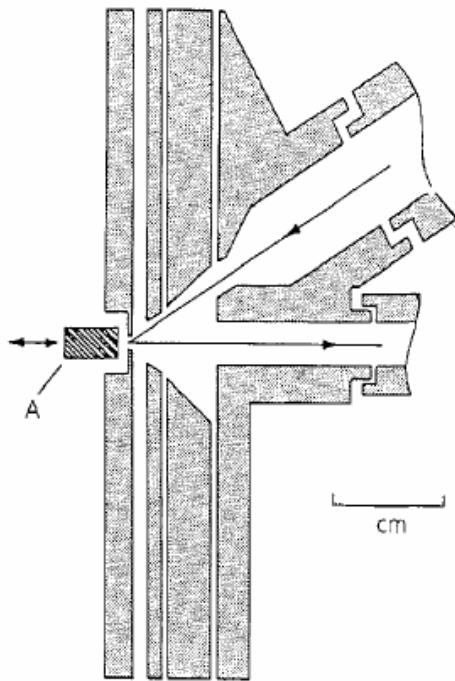


- remoderátor s magnetickou čočkou
- magnetická separace primárního svazku a remoderovaných e^+
- redukce velikosti svazku $\approx 100 \times$

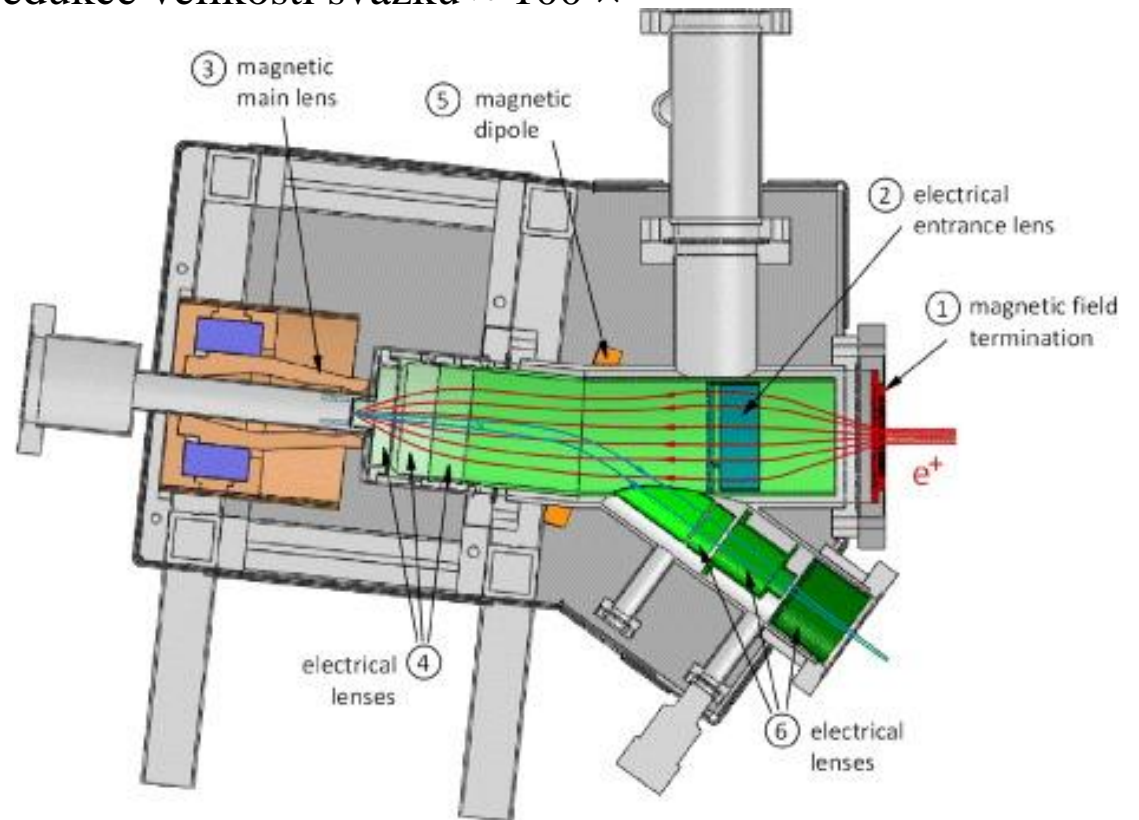


Pozitronový mikroskop

- **remoderace**
- elektrostatický remoderátor
- redukce velikosti svazku $\approx 10 \times$



- remoderátor s magnetickou čočkou
- magnetická separace primárního svazku a remoderovaných e^+
- redukce velikosti svazku $\approx 100 \times$



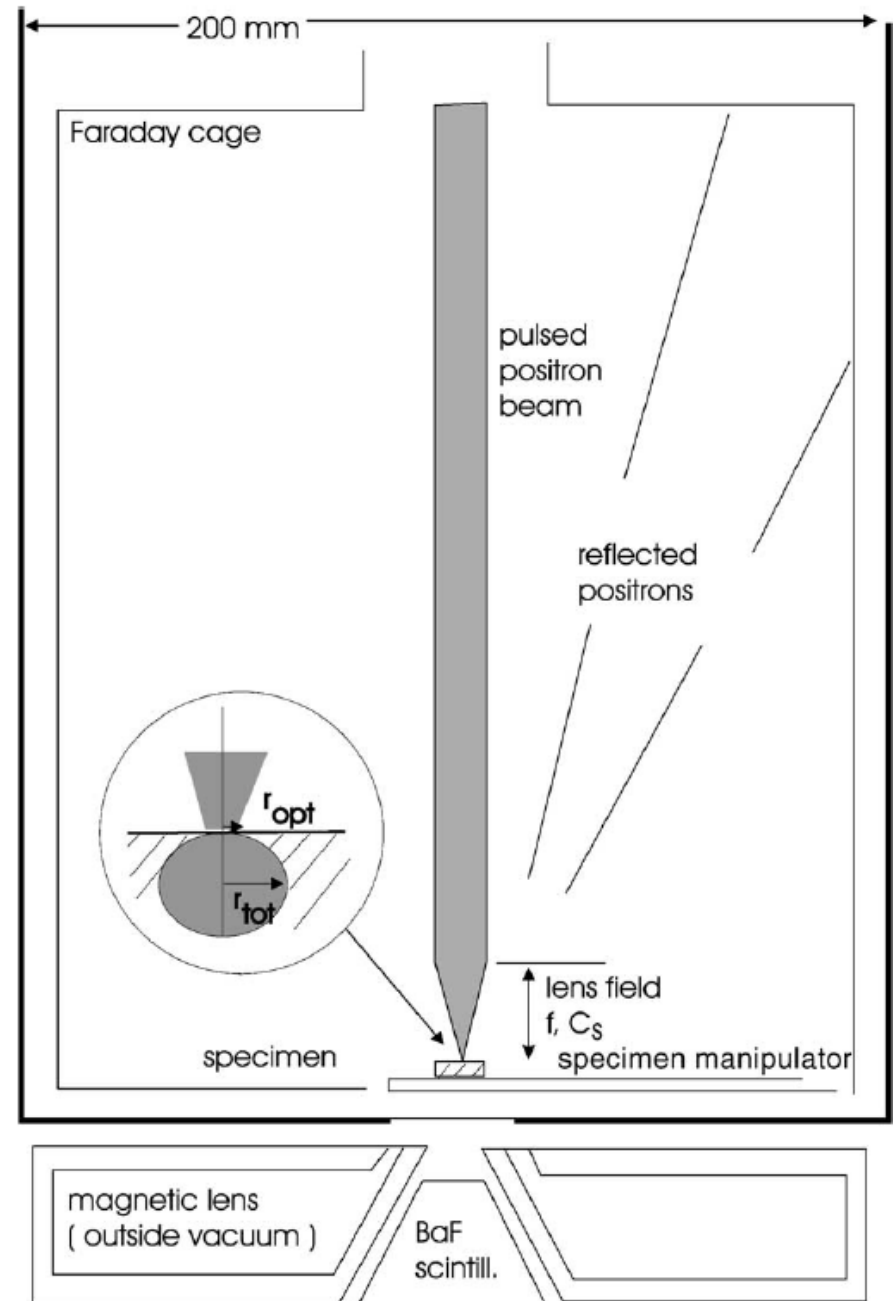
Pozitronový mikroskop

- **skenovací pozitronový mikroskop**
- TU Munich
- fokusovaný pulsovaný svazek
- pomalých e^+
- velikost fokusovaného svazku $\approx 2 \mu\text{m}$

$$r_{opt} = \sqrt{\frac{f^2 \Delta E}{E} + \frac{C_s^2 R^6}{16 f^6}}$$

- ΔE – disperze energie e^+ v transverzálním směru
- f – ohnisková délka elektrostatické fokusační čočky
- C_s – sférická vada
- R – poloměr svazku

Kögel et al. Appl. Surf. Sci. 116, 108 (1997)



Pozitronový mikroskop

- **skenovací pozitronový mikroskop**

- TU Munich

- fokusovaný pulsovaný svazek

- pomalých e^+

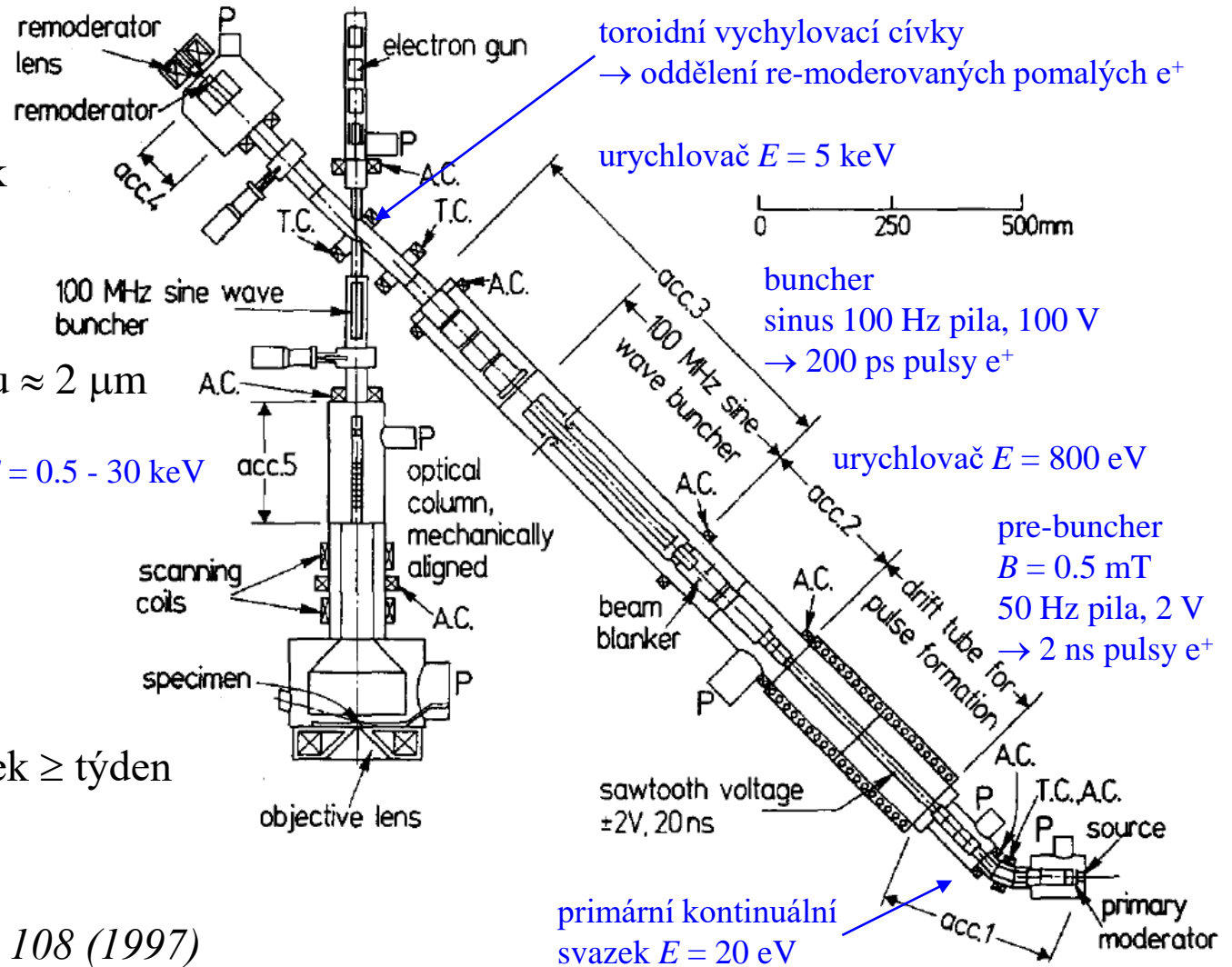
- velikost fokusovaného svazku $\approx 2 \mu\text{m}$

urychlovač $E = 0.5 - 30 \text{ keV}$

- časové rozlišení $\approx 250 \text{ ps}$

- četnost koincidenčí $\approx 500 \text{ s}^{-1}$

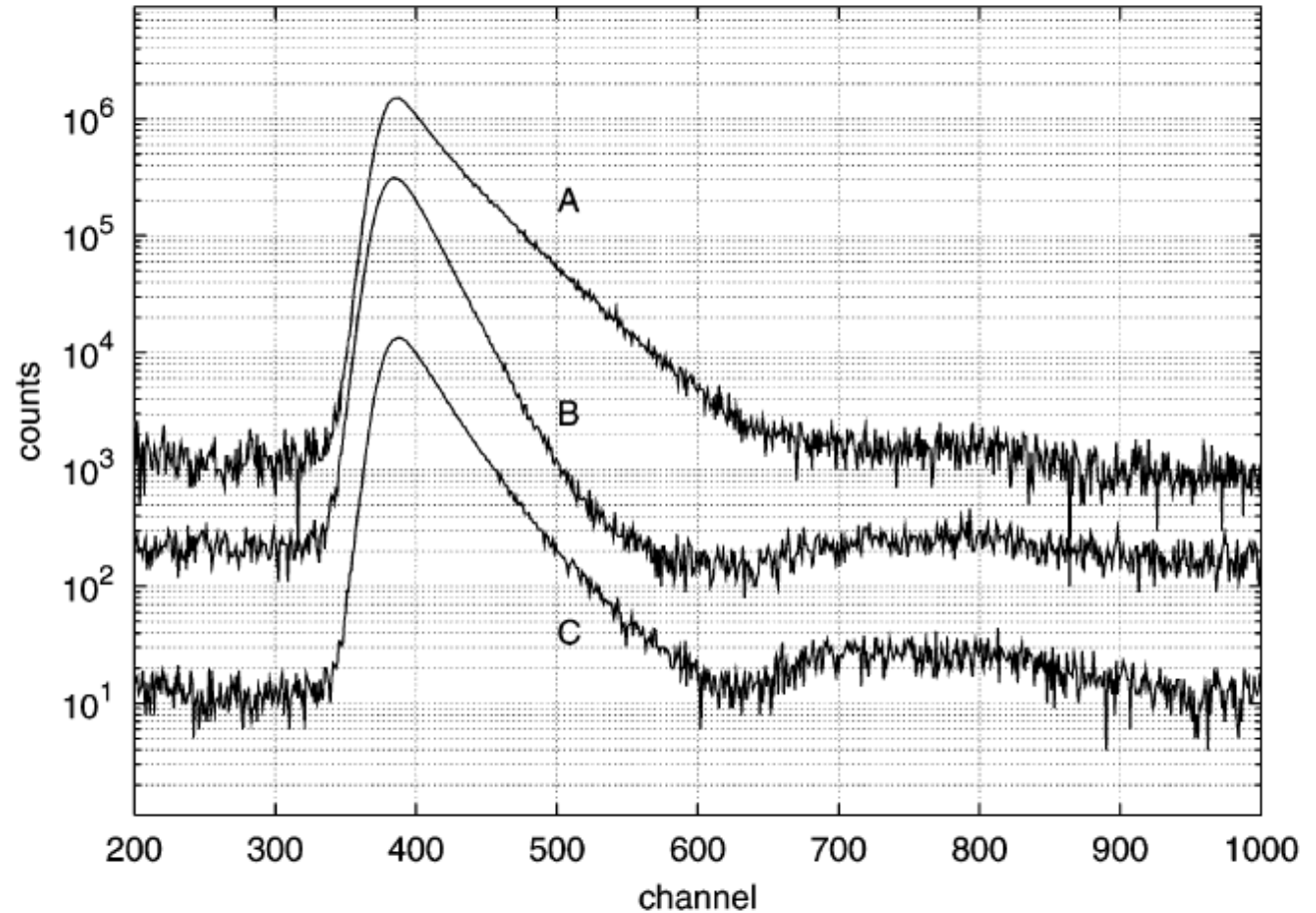
- čas potřebný pro jeden obrázek \geq týden



Pozitronový mikroskop

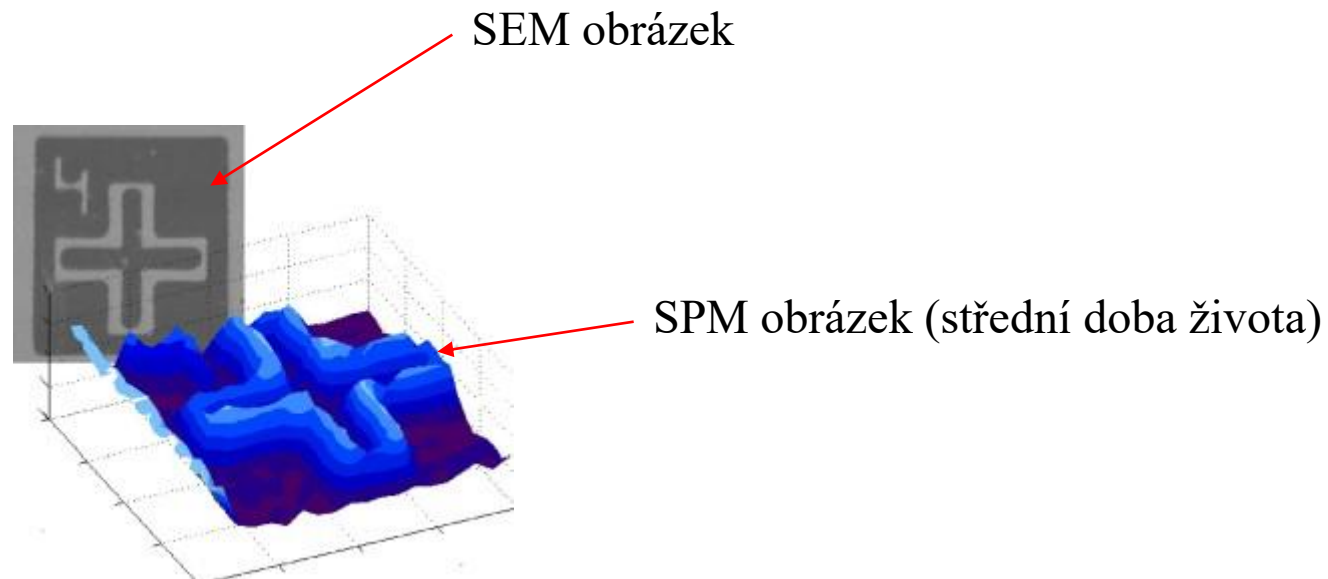
- skenovací pozitronový mikroskop
- TU Munich
- fokusovaný pulsovaný svazek
- pomalých e^+
- časové rozlišení ≈ 250 ps

příklad spekter dob života e^+ měřených na SPM, $E = 8$ keV



Pozitronový mikroskop

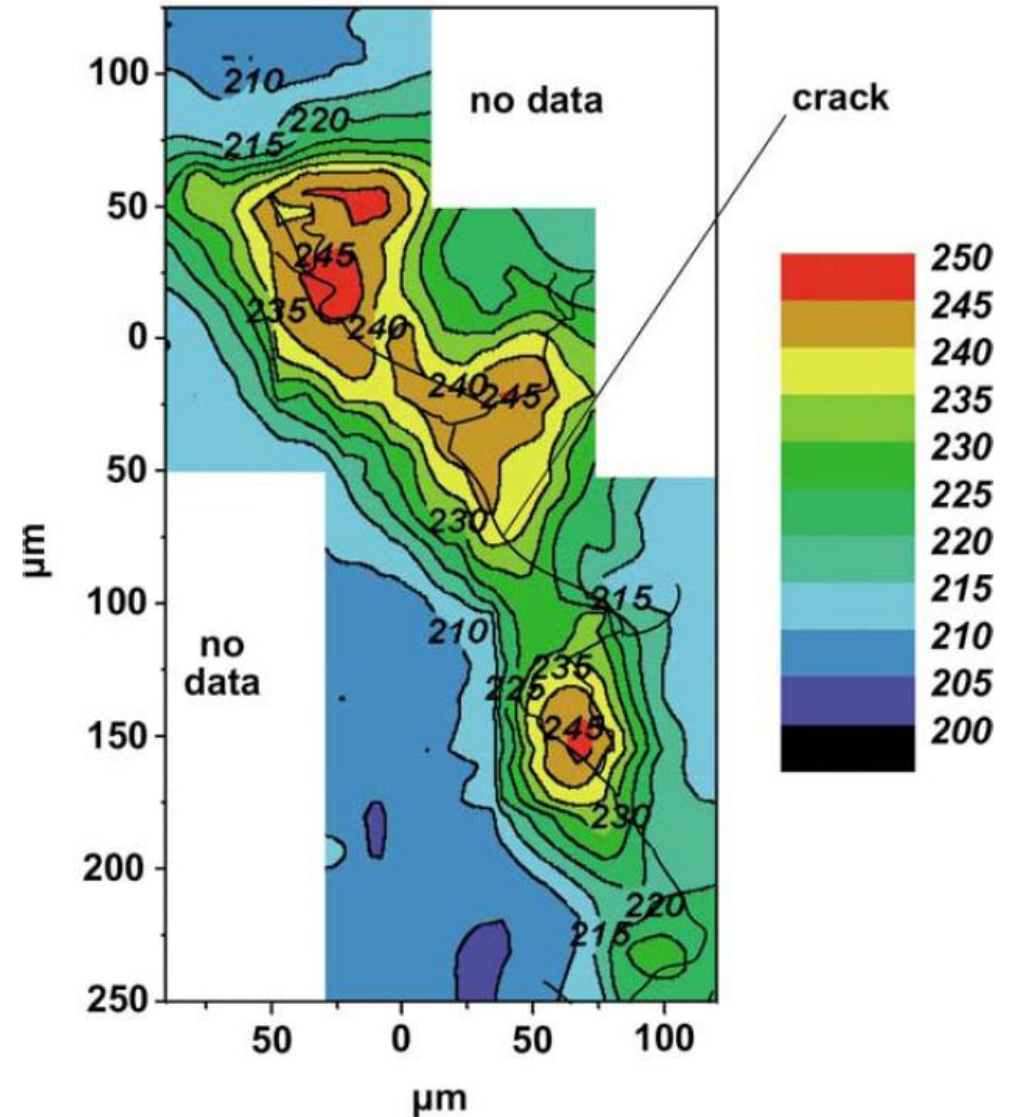
- **skenovací pozitronový mikroskop**
- TU Munich
- prostorové rozlišení $\approx 2 \mu\text{m}$
- Si substrát s vyleptaným obrazcem



David et al. Phys. Rev. Lett. 87, 067402 (2001)

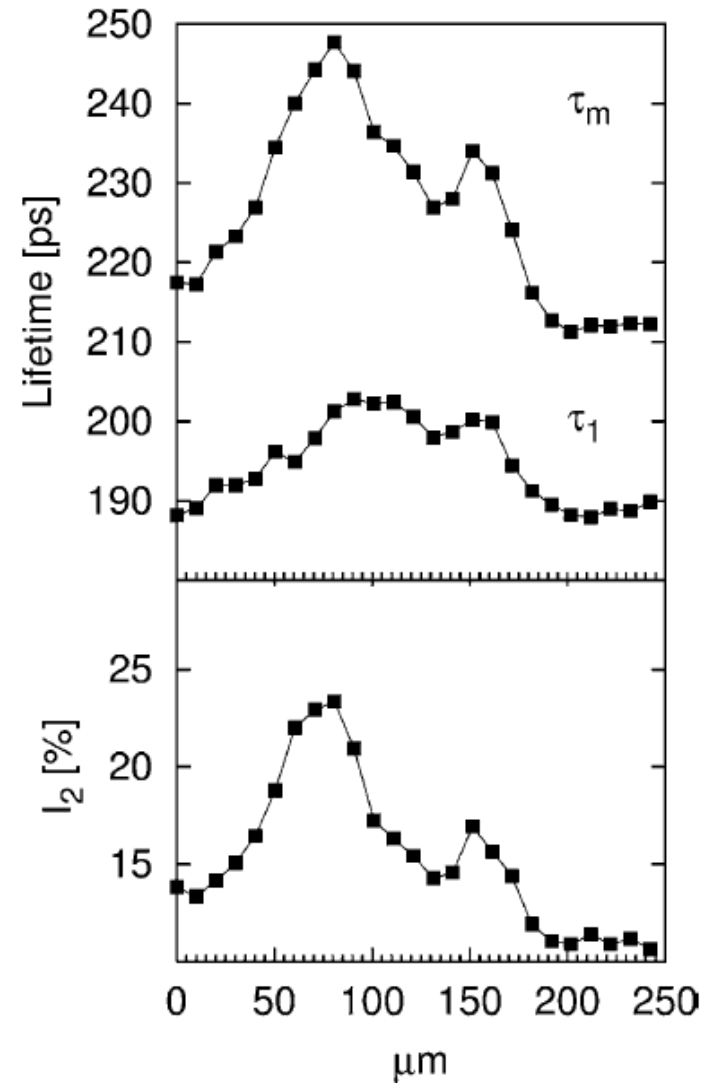
Pozitronový mikroskop

- skenovací pozitronový mikroskop
- TU Munich
- prostorové rozlišení $\approx 2 \mu\text{m}$
- mechanicky namáhaná Cu
- mapování pomocí střední doby života e^+
- $E = 16 \text{ keV}$



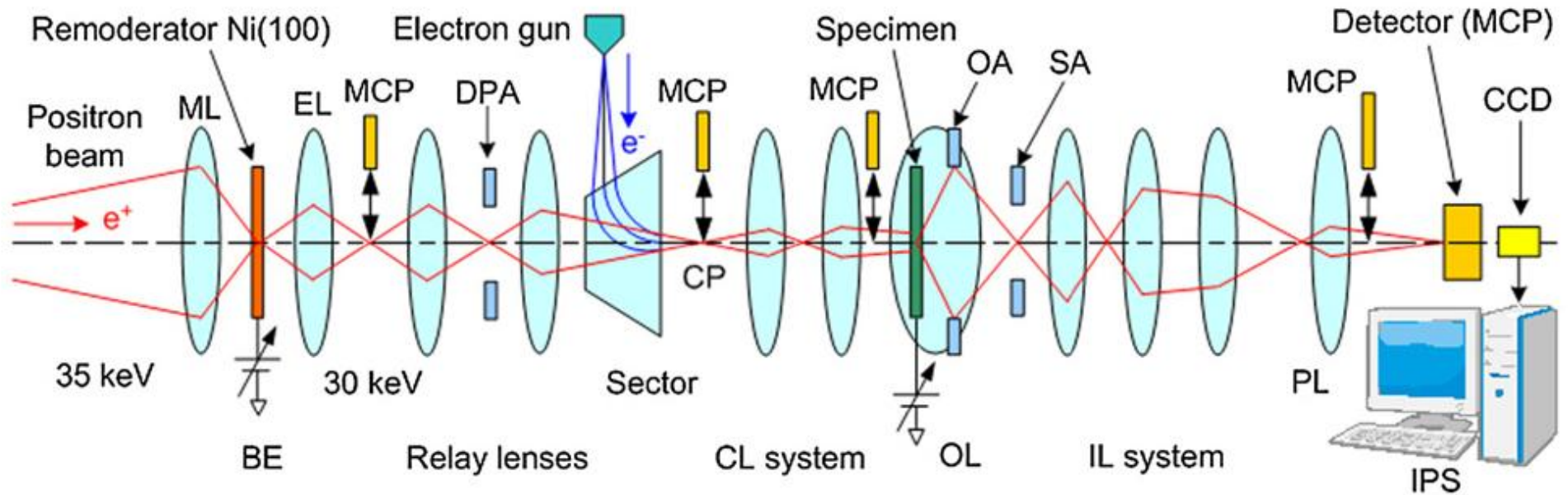
Pozitronový mikroskop

- skenovací pozitronový mikroskop
- TU Munich
- prostorové rozlišení $\approx 2 \mu\text{m}$
- mechanicky namáhaná Cu
- lineární sken kolmo na crack
- $E = 16 \text{ keV}$
- dvou-komponentní rozklad, τ_2 fixováno na 400 ps



Pozitronový mikroskop

- **transmisní pozitronový mikroskop**
- KEK Tsukuba
- pozitronový zdroj: LINAC



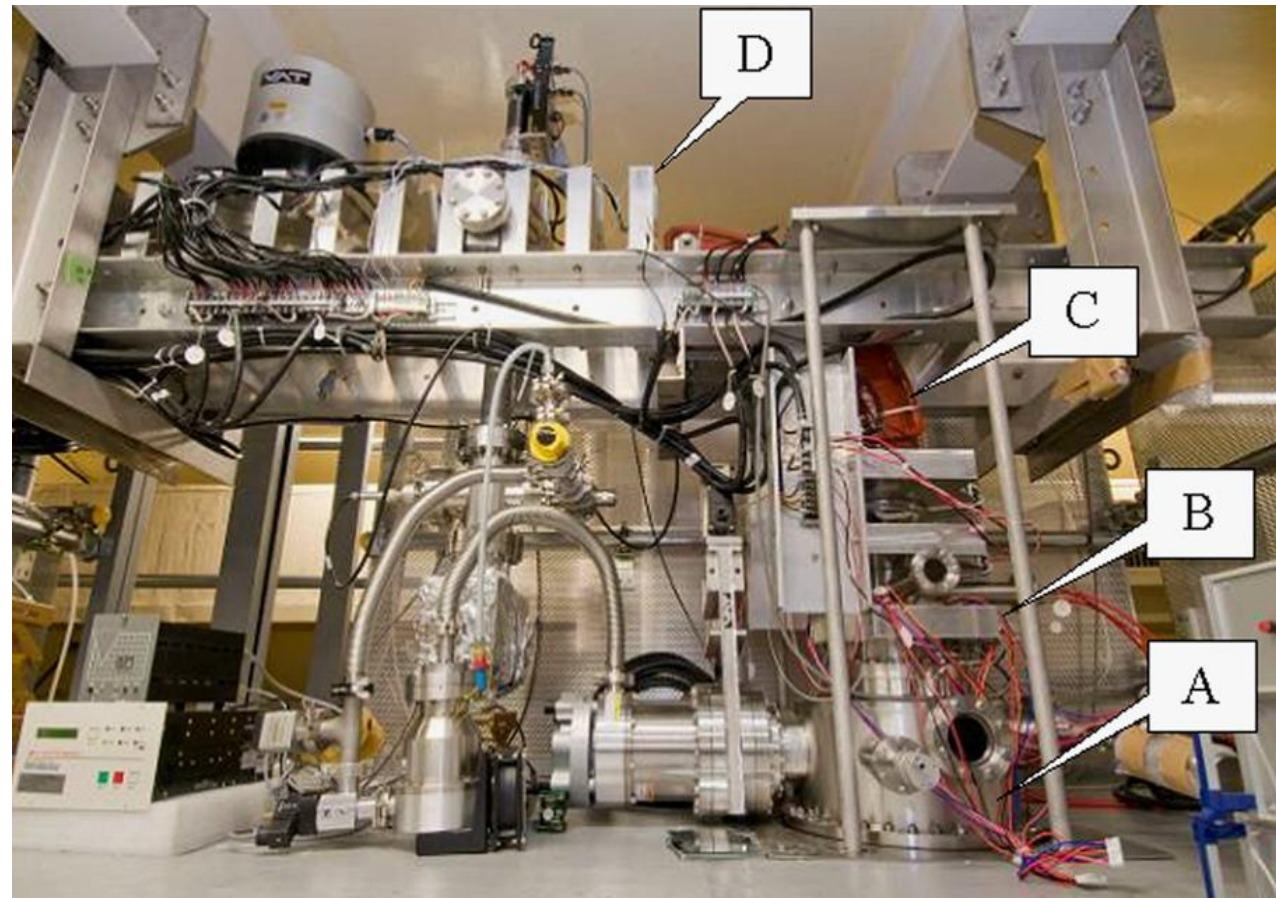
Pozitronový mikroskop

- **transmisní pozitronový mikroskop**

remoderator (brightness enhancer)

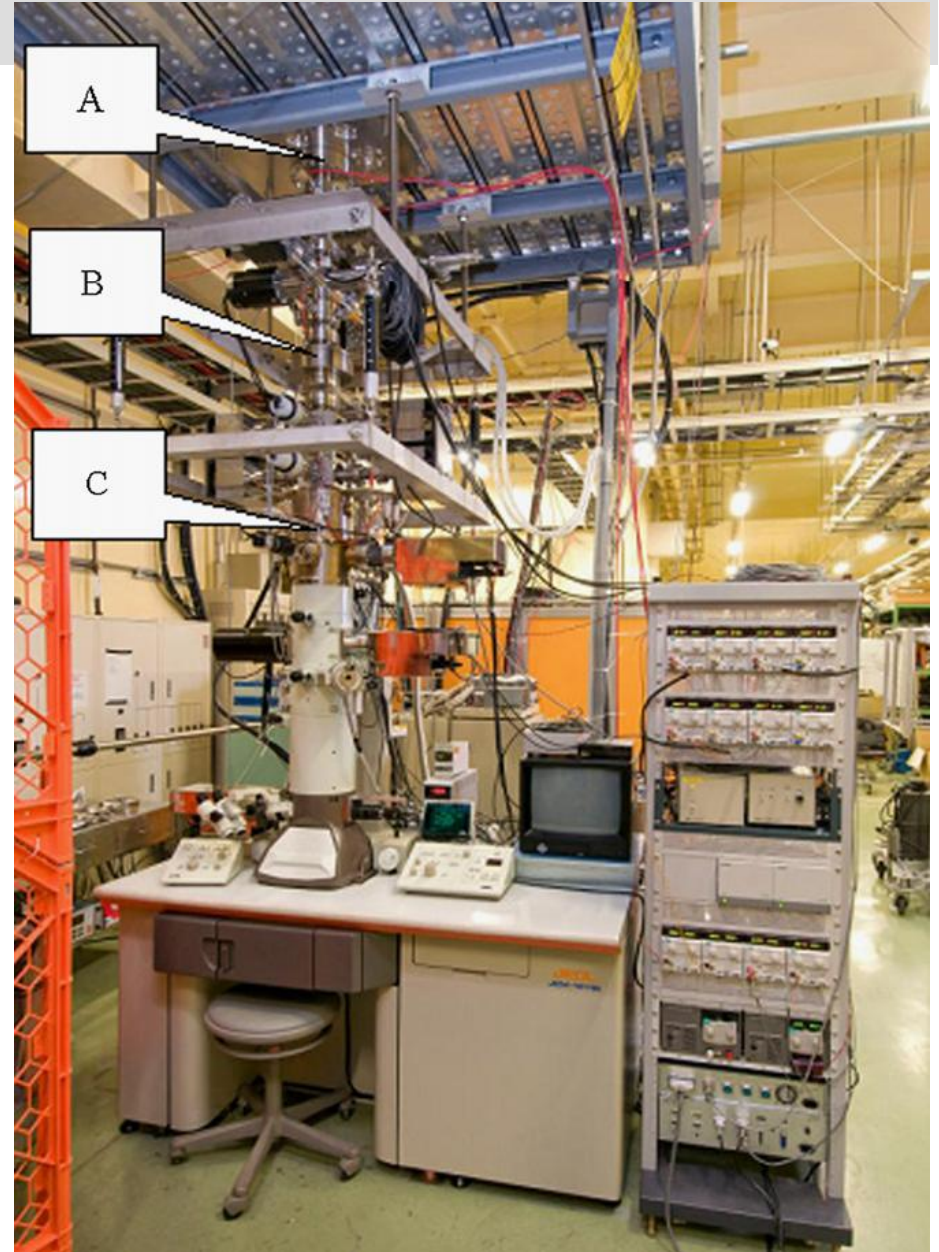
- KEK Tsukuba

- pozitronový zdroj: LINAC



Pozitronový mikroskop

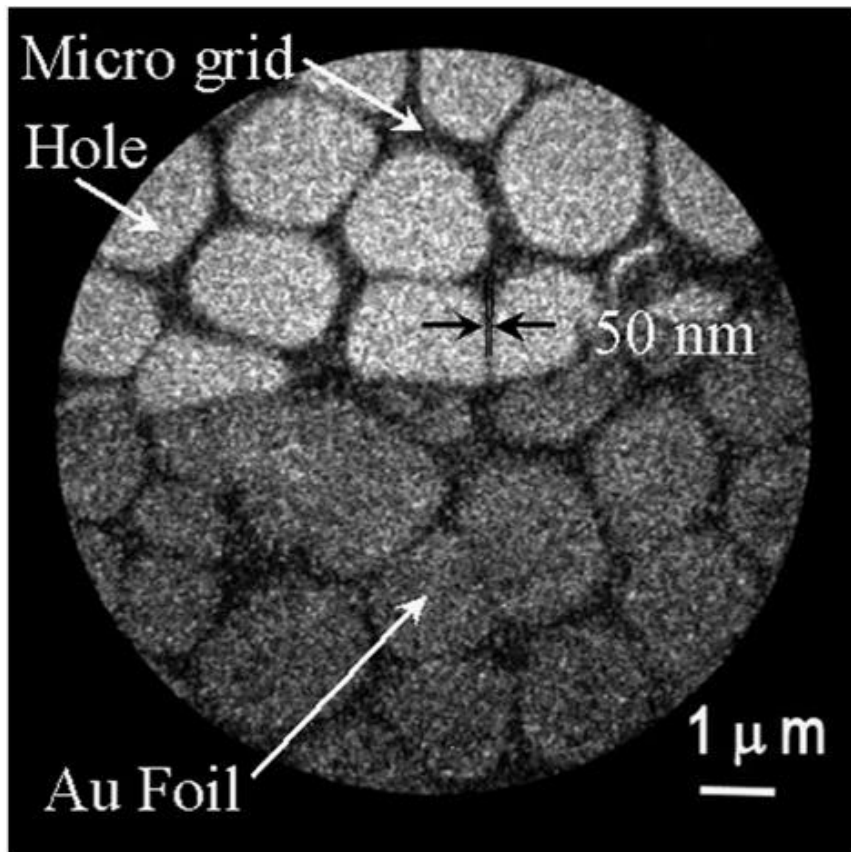
- **transmisní pozitronový mikroskop**
- KEK Tsukuba
- pozitronový zdroj: LINAC



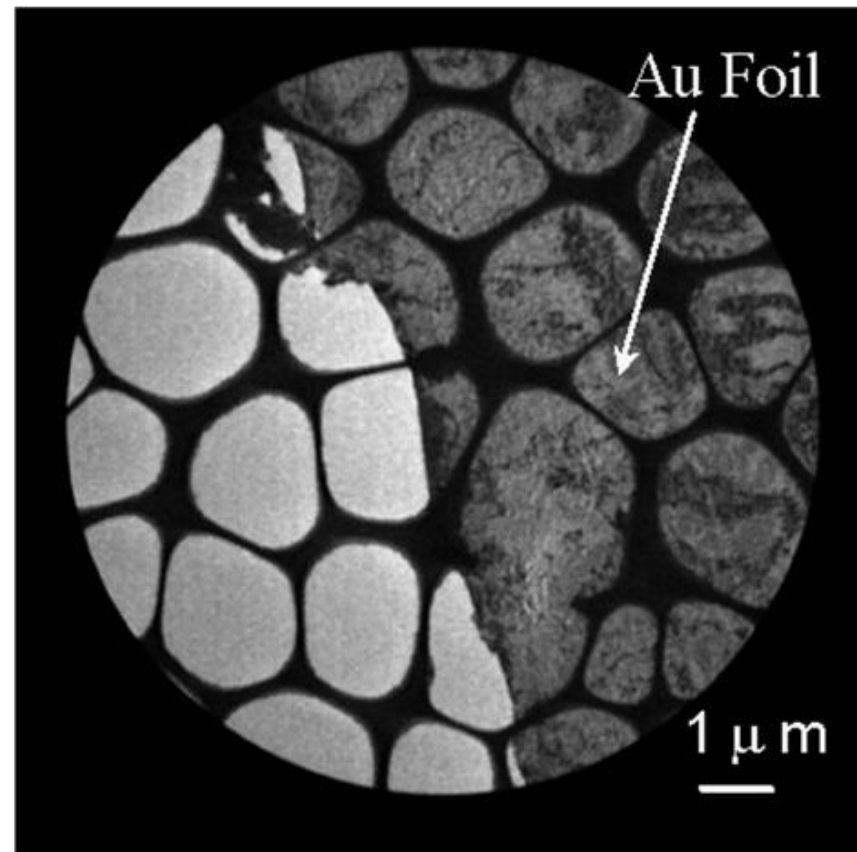
Pozitronový mikroskop

- transmisní pozitronový mikroskop
- 10 nm Au (100) fólie na mikro mřížce

pozitrony



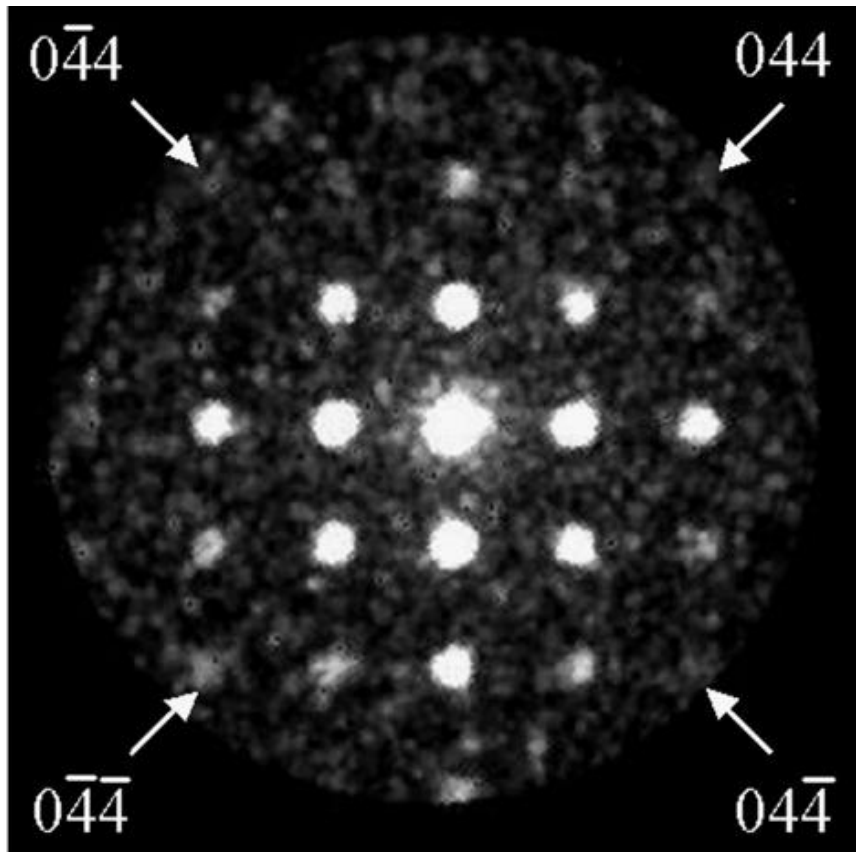
elektrony



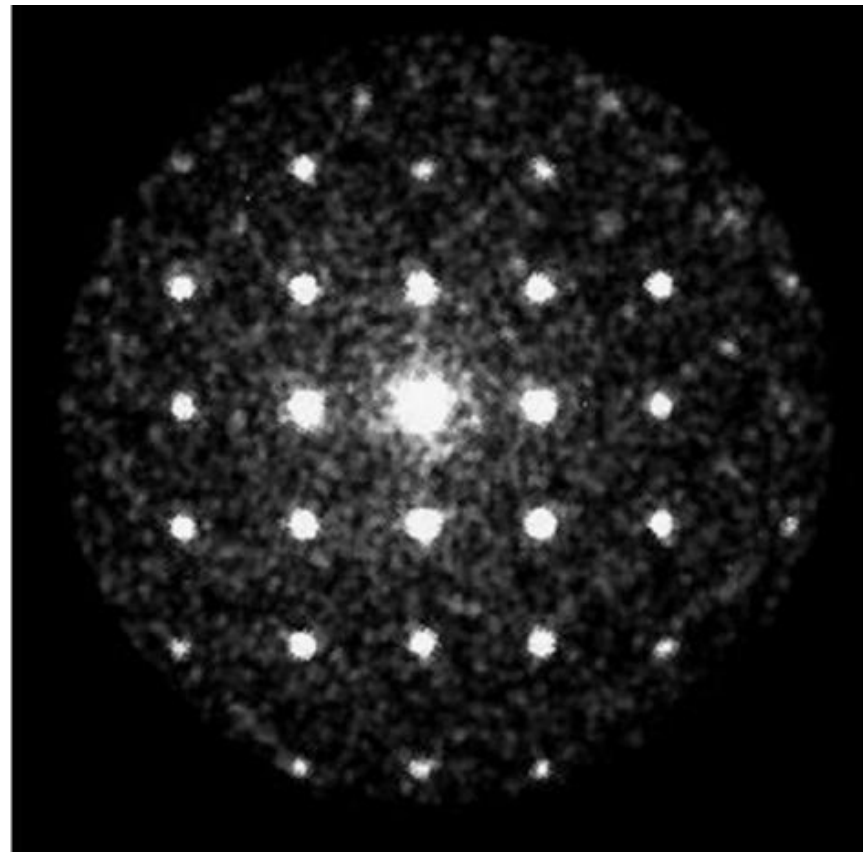
Pozitronový mikroskop

- transmisní pozitronový mikroskop
- 10 nm Au (100) fólie na mikro mřížce - difrakce

pozitrony



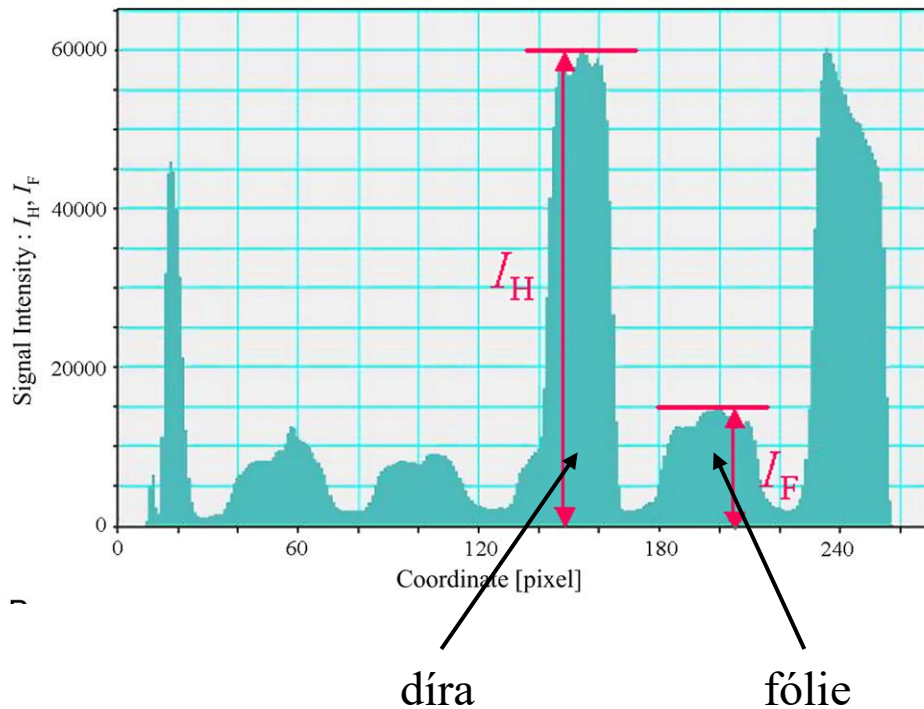
elektrony



Pozitronový mikroskop

- transmisní pozitronový mikroskop
- 35 nm Al fólie na Cu mikro mřížce - transmittance

pozitrony



elektrony

